

Sprawozdanie

Metody numeryczne 2

3. Całkowanie numeryczne

Temat 33:

Obliczanie całek $\int_0^\infty e^{-x} f(x) dx$ n – punktową
($n = 2, 4, 6, \dots, 16$) kwadraturą Gaussa – Laguerre’a.

Opis problemu:

Szukamy $\sum_{i=1}^n w_i f(x_i) \approx \int_0^\infty e^{-x} f(x) dx$, gdzie x_i jest i -tym
pierwiastkiem n -tego wielomianu Laguerre’a $L_n(x)$,
$$w_i = \frac{x_i}{((n+1) \cdot L_{n+1}(x_i))^2}.$$

Opis metody:

Do wyliczenia wartości szukanej kwadratury używamy funkcji $nPointLaguerre(n, f, symbolic)$.

$symbolic$ jest opcjonalnym argumentem. Jeśli $symbolic == "symbolic"$, to korzystamy z „Symbolic Math Toolbox”.

Do wyliczenia współczynników nie korzystamy ze wzoru $w_i = \frac{x_i}{((n+1) \cdot L_{n+1}(x_i))^2}$, ponieważ wartości wyznaczone w ten sposób są mniej dokładne i sposób ten jest wolniejszy w pierwszym przypadku.

Przypadek 1 – bez „Symbolic Math Toolbox”

- Tworzymy macierz wielomianów Laguerre’a $L = makeLaguerre(n + 1)$
- Tworzymy wektor węzłów $x = roots(fliplr(L(n + 1, :)))$
- Tworzymy macierz $A \in M_{n \times n}$ t.ż. $A(i, j) = L_i(x_j)$
- Tworzymy wektor v o długości n ; $v = \begin{bmatrix} 1 \\ 0 \\ \vdots \\ 0 \end{bmatrix}$.
- Wyznaczamy $w = A \backslash v$.
- Zwracamy $\sum_{i=1}^n w_i f(x_i) \approx \int_0^\infty e^{-x} f(x) dx$

Przypadek 2

- Wyznaczamy wektor węzłów x , który jest wartościami własnymi

$$\text{macierzy } C = sym(compan(L_n)) = \begin{bmatrix} \frac{-L_n(2)}{L_n(1)} & \frac{-L_n(3)}{L_n(1)} & \dots & \frac{-L_n(n)}{L_n(1)} & \frac{-L_n(n+1)}{L_n(1)} \\ 1 & 0 & \dots & 0 & 0 \\ 0 & \ddots & \ddots & \vdots & \vdots \\ \vdots & \ddots & \ddots & 0 & 0 \\ 0 & \dots & 0 & 1 & 0 \end{bmatrix}.$$

- Tworzymy symboliczną macierz $A \in M_{n \times n}$ t.ż. $A(i, j) = L_i(x_j)$

- Tworzymy wektor v o długości n ; $v = \begin{bmatrix} 1 \\ 0 \\ \vdots \\ 0 \end{bmatrix}$.

- Wyznaczamy $w = A \backslash v$.
- Zwracamy $\sum_{i=1}^n w_i f(x_i) \approx \int_0^\infty e^{-x} f(x) dx$

W przypadku 1 korzystamy z kilku funkcji pomocniczych:

- *nextLaguerre*(L_{k-1}, L_k) zwraca $[L_{k+1}, L_k]$, korzystając z zależności

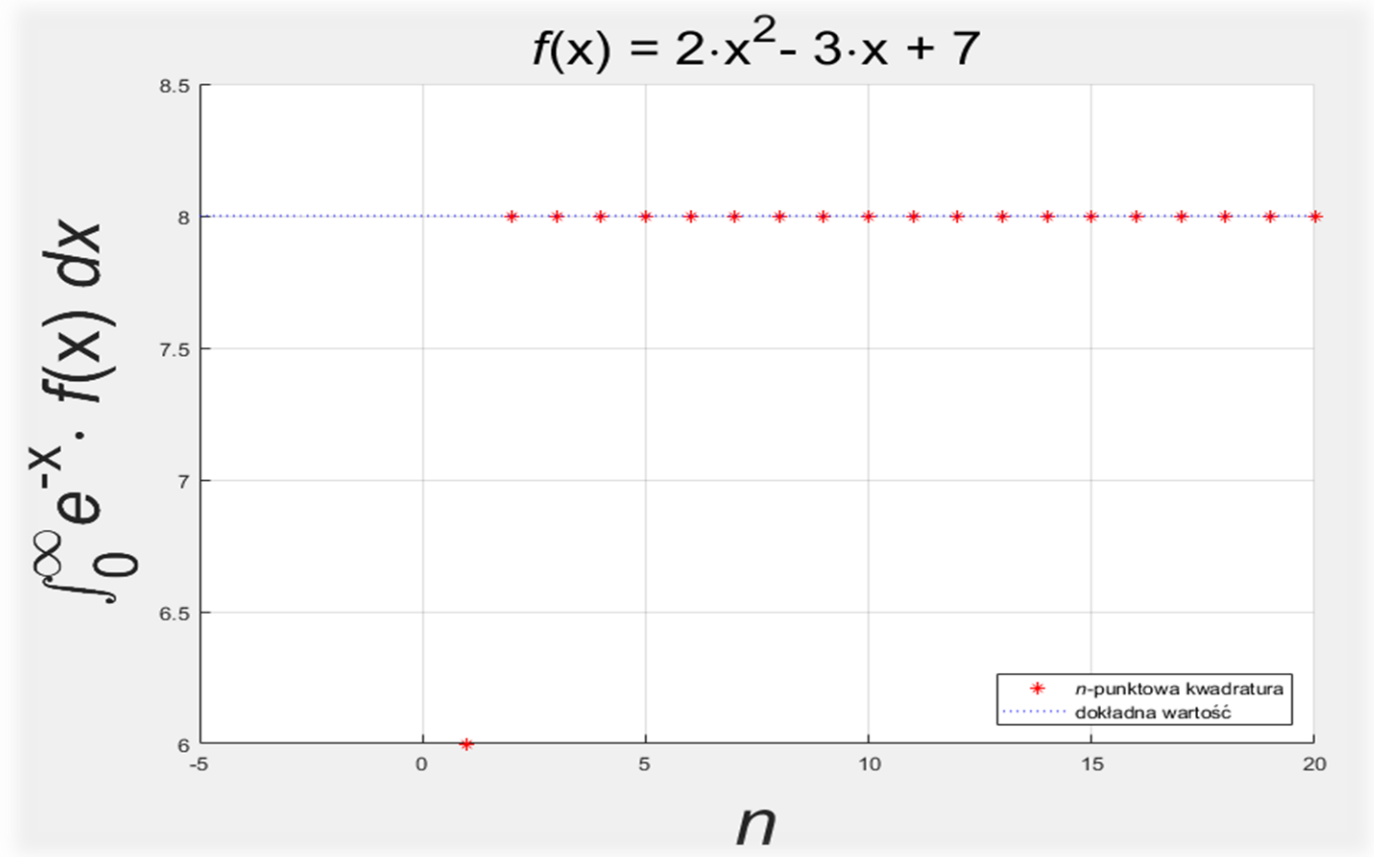
$$L_{k+1}(x) = \frac{(2k+1-x) \cdot L_k(x) - k \cdot L_{k-1}(x)}{k+1}.$$

- *makeLaguerre*(n) zwraca macierz $L \in M_{n \times n}$ t.ż. k -ty wiersz macierzy L zawiera współczynniki L_{k-1} . Funkcja korzysta z *nextLaguerre*.
- *pxValue*(p, x) oblicza $p(x) = a + b \cdot x + c \cdot x^2 + \dots$, gdzie $p = [a, b, c, \dots]$.

Przykłady i wnioski:

Skrypty przykładów zaznaczają na wykresie dokładną wartość $\int_0^\infty e^{-x} f(x) dx$ i obliczone wartości n – punktowych kwadratur Gaussa-Laguerre’a $Q_n(f)$, dla $n \in \langle 1, k \rangle$, $k = 20$. Podają także czas obliczenia wszystkich kwadratur i tworzą wektor błędu er t.ż. $er_n = |Q_n(f) - \int_0^\infty e^{-x} f(x) dx|$.

Przykład 1



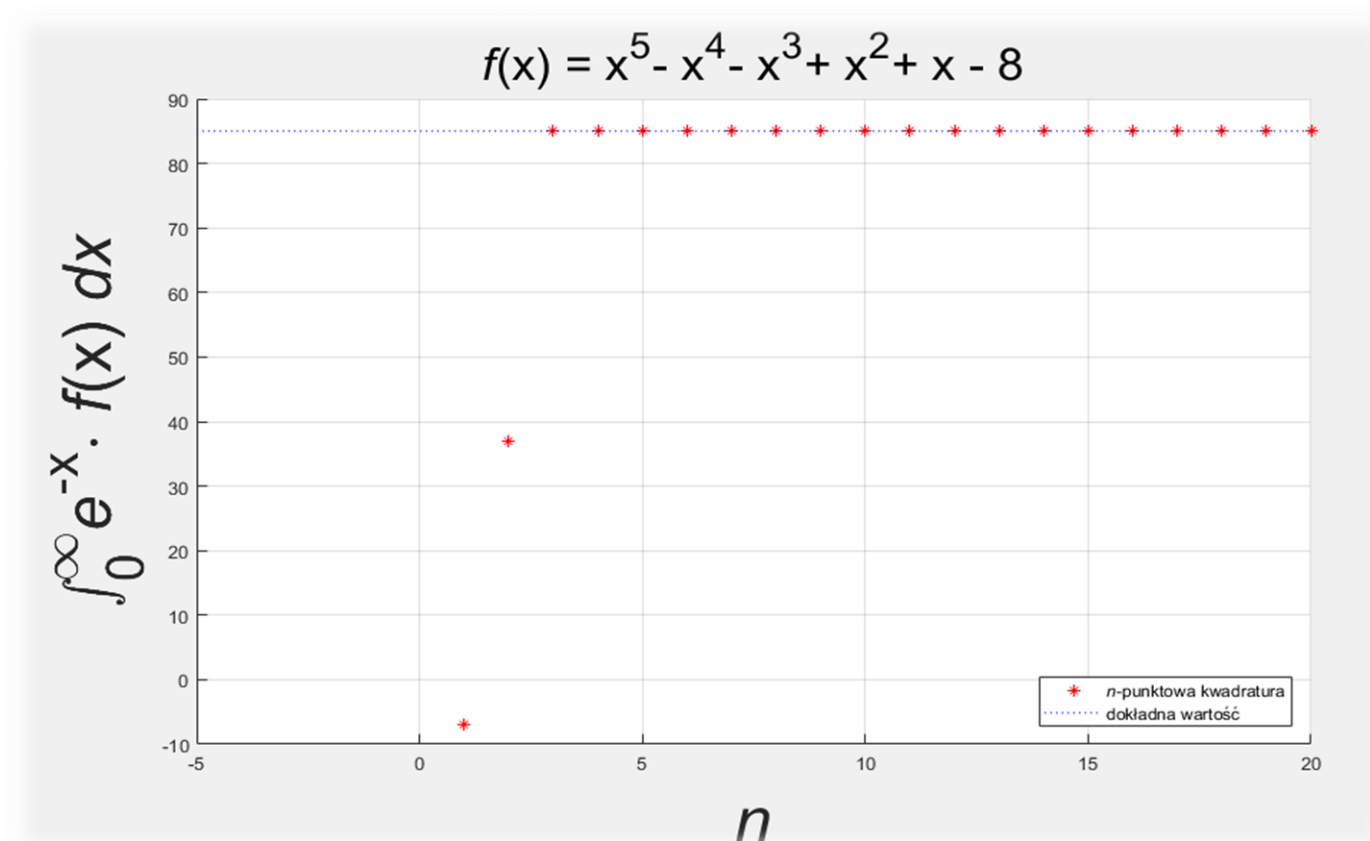
n – punktowa kwadratura Gaussa – Laguerre’a jest rzędu $2n$, więc dla $n \geq 2$ otrzymane wyniki powinny być dokładne, co zgadza się z wartościami przedstawionymi na wykresie. Elementy wektora er są rzędu 10^{-15} , wynika to z błędów zaokrągleń.

Zwiększając k do 40 możemy zauważyć, że błąd zaczyna rosnąć. Dla $n = 36 : 40$ $er = 10^{-5} \cdot [0.000002, 0.145427, 0.006499, 0.590402, 4.230747]$ Dzieje się tak dlatego, że niewielka zmiana współczynnika stojącego przy wysokiej potędze może powodować dużą zmianę w wartościach wielomianu, co przekłada się na niedokładne wyznaczenie współczynników kwadratury.

Obliczając kwadratury z parametrem *'symbolic'* dostajemy dokładne wartości dla $n \leq 36$, ale czas obliczeń jest znacznie dłuższy. Porównanie średniego czasu wykonania *nPointLaguerre* odpowiednio z parametrem *'symbolic'* i bez niego: dla $n = 10$ [0.4s, 0.004s], dla $n = 20$ [2s, 0.006s].

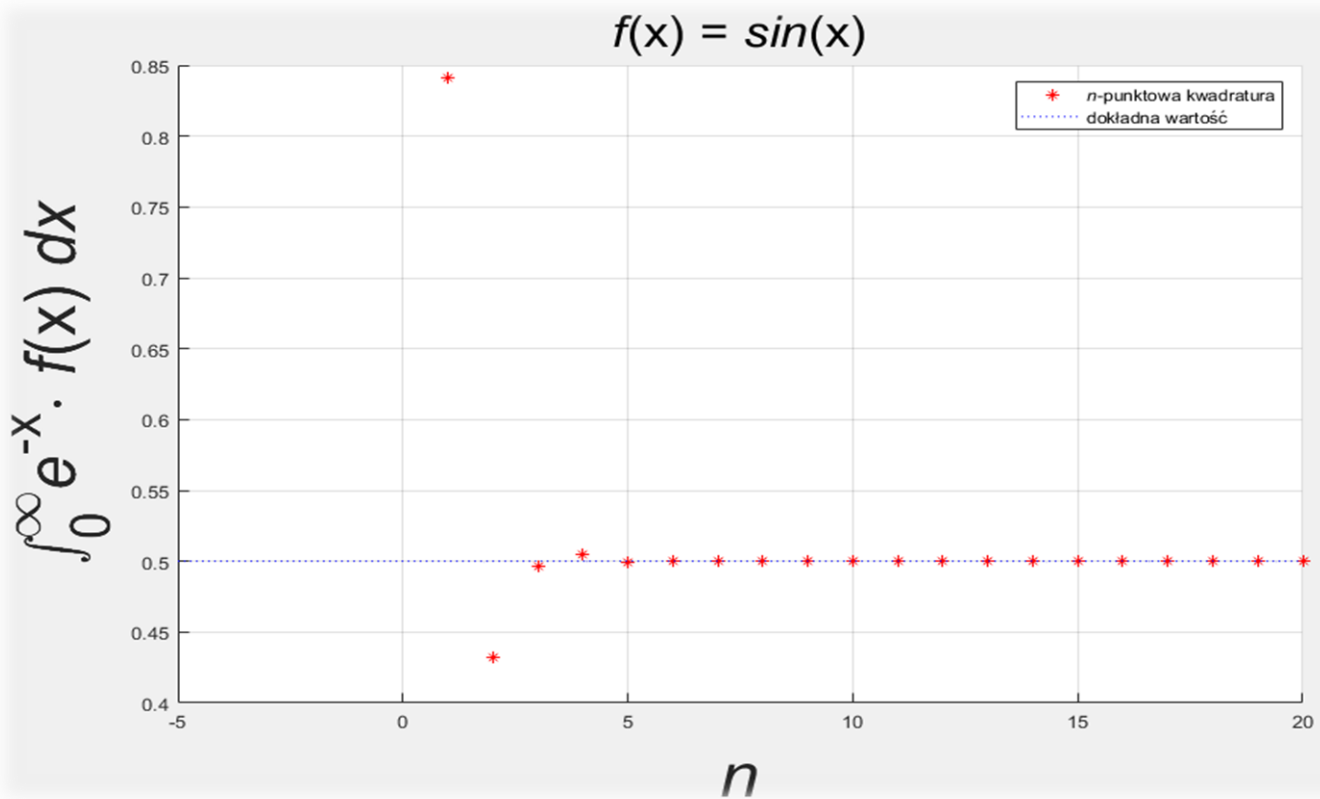
Dla $n \geq 37$ układ równań z macierzą A nie ma rozwiązań. Jest to spowodowane niedokładnym wyznaczeniem elementów macierzy A . Dla $n = 40$ najmniejsze elementy macierzy A są rzędu 10^{-1} , a największe – rzędu 10^{20} .

Przykład 2



Ten przykład jest bardzo podobny do poprzedniego. Główną różnicą jest stopień wielomianu f . Tym razem aby wynik był dokładny potrzebujemy kwadratury rzędu co najmniej 6, czyli powinniśmy dostawać dokładne wyniki dla $n \geq 3$, co zgadza się z danymi przedstawionymi na wykresie.

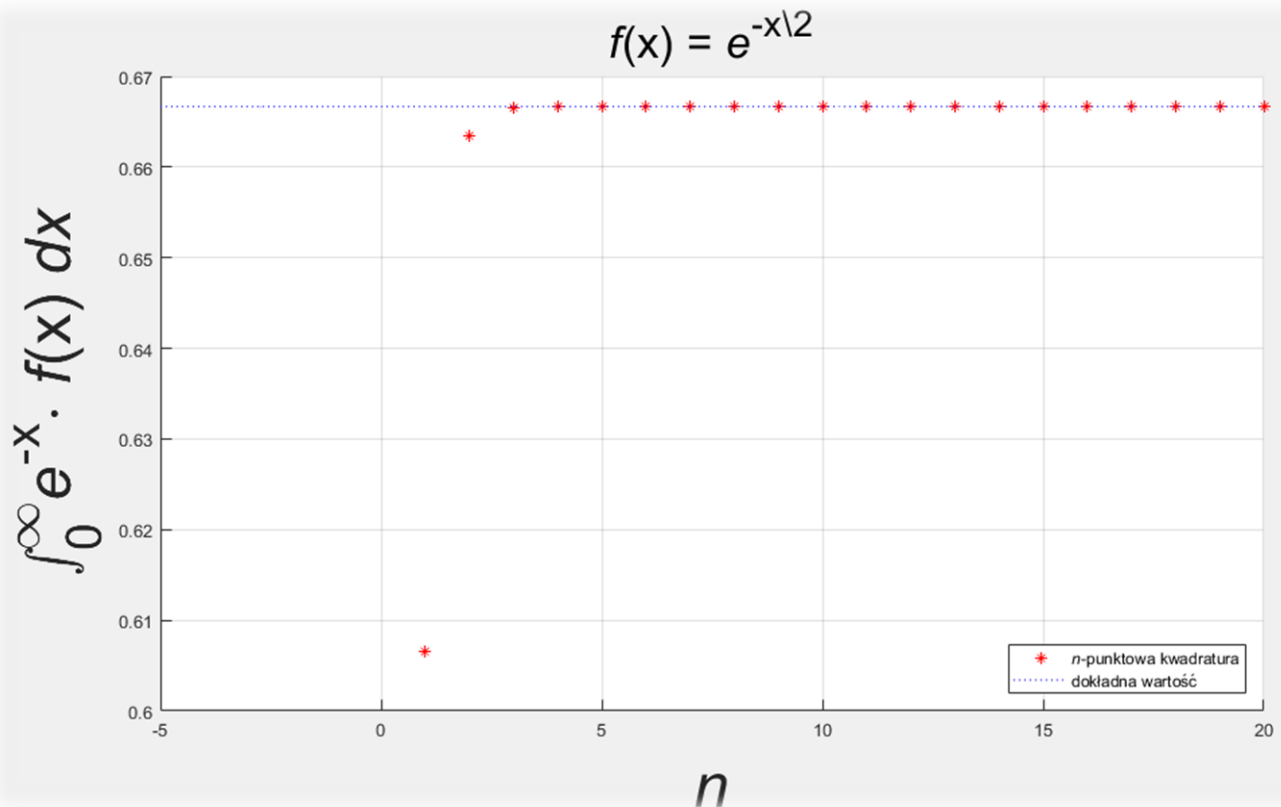
Przykład 3



Przy funkcji f nie będącej wielomianem nie możemy dostać dokładnego wyniku. Zamiast tego otrzymujemy coraz dokładniejsze przybliżenia szukanej całki, co widać na wykresie. Do $n = 20$ dokładność rośnie, przy dalszym zwiększaniu n dokładność maleje. Dla 20 – punktowej kwadratury błąd jest rzędu 10^{-16} .

Możemy poprawić dokładność używając parametru '*symbolic*', uzyskując błąd rzędu 10^{-19} dla 20 – punktowej kwadratury. Dalsze zwiększanie n nie poprawia dokładności, ale też nie pogarsza jej tak szybko jak bez parametru '*symbolic*'. Podobnie jak w przykładzie 1 metoda działa dla $n < 37$.

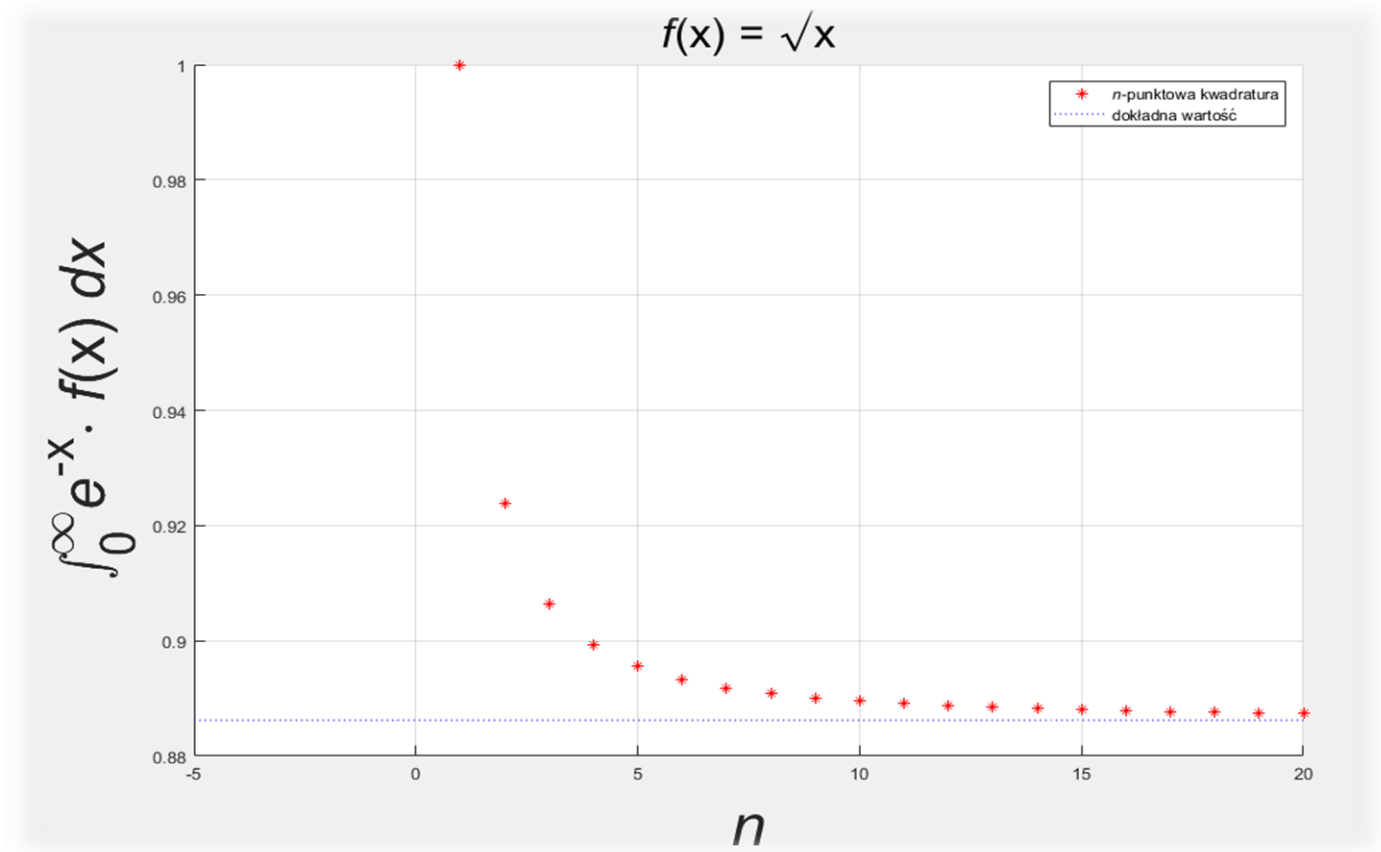
Przykład 4



W tym przykładzie otrzymywane błędy są znacznie mniejsze niż w poprzednim. Już dla 12 – punktowej kwadratury otrzymujemy błąd = 0. Oczywiście kwadratura ta nie jest dokładna, a zerowość błędu wynika z precyzji obliczeń. Dokładność jest duża, ponieważ błąd kwadratury zależy od $f^{(2n)}(x) = \frac{1}{4^n \cdot e^{x/2}}$, która szybko maleje.

Używając parametru '*symbolic*' zamiast zer w wektorze *er* otrzymujemy wartości rzędu nawet 10^{-24} . Tym razem najwyższą dokładność osiąga 36 – punktowa kwadratura. Podobnie jak w poprzednich przykładach symboliczne rozwiązanie układu równań z macierzą *A* jest niemożliwe dla $n \geq 37$.

Przykład 5



Dla $f(x) = \sqrt{x}$ otrzymywane z kwadratur przybliżenia są znacznie mniej dokładne niż w poprzednich przykładach, co można zobaczyć na wykresie. Dzieje się tak dlatego, że $f^{(2n)}(x)$ posiada czynnik $x^{\frac{1}{2}-2n}$, więc może być bardzo duża dla małych x .

Dla 20 – punktowej kwadratury otrzymujemy błąd $1.154 \cdot 10^{-3}$, ale dla 50 – punktowej otrzymujemy błąd $3.135 \cdot 10^{-4}$. W przykładzie 1 błąd wynikający z niedokładnego wyznaczenia kwadratury dla $n = 40$ był rzędu 10^{-5} . Jest to wartość mniejsza niż błąd wynikający z niedokładności samej kwadratury w obecnym przykładzie, dlatego tym razem minimalny błąd osiągany jest dla większych n .

Wywołanie `nPiontLaguerre` z parametrem `'symbolic'` niewiele zmienia w tym przykładzie, ponieważ pozwala nam to jedynie na dokładniejsze wyznaczenie kwadratury, która i tak charakteryzuje się dużym błędem.